

纳米 SiO_2 负载的过渡金属硼化物对 AP 热分解的催化作用

李茸, 刘祥萱, 王煊军

(西安高技术研究所, 陕西 西安 710025)

摘要:采用化学还原法制备纳米 NiB/SiO_2 、 CoB/SiO_2 、 MoB/SiO_2 催化剂, 通过热重-差热分析(TG-DTA)研究了其对 AP 热分解过程的催化作用。结果表明, 负载过渡金属硼化物催化剂对 AP 分解的催化活性顺序为: $\text{CoB/SiO}_2 > \text{NiB/SiO}_2 > \text{MoB/SiO}_2$; 加入质量分数 5% 的 CoB/SiO_2 使 AP 高温热分解峰温度降低 166.2°C ; SiO_2 载体将 CoB 晶型转化推迟了 110°C 左右, 改善了催化剂的热稳定性。

关键词:材料科学; 纳米催化剂; 高氯酸铵; 热分解; 过渡金属硼化物; 纳米二氧化硅

中图分类号:TJ55; X93

文献标志码:A

文章编号:1007-7812(2012)06-0041-05

Catalytic Activity of Nano-silica Supported Transition-metal Borides on the Thermal Decomposition of Ammonium Perchlorate

LI Rong, LIU Xiang-xuan, WANG Xuan-jun

(Xi'an Research High-tech Institute, Xi'an 710025, China)

Abstract: The nano-silica supported transition metal catalysts NiB/SiO_2 , CoB/SiO_2 , MoB/SiO_2 were prepared by chemical reduction method. Their catalytic activity on the thermal decomposition of ammonium perchlorate (AP) was studied by TG-DTA. Results show that catalytic activity of nano-silica supported transition metal borides for the thermal decomposition of AP decreases in the order: $\text{CoB/SiO}_2 > \text{NiB/SiO}_2 > \text{MoB/SiO}_2$. The CoB/SiO_2 (mass ration of 5%) catalyst makes the high-temperature thermal decomposition temperature of AP decrease by 166.2°C . The SiO_2 carrier makes the crystal transformation temperature delay about 110°C , revealing the improvement of thermal stability of the catalyst.

Key words: material science; nano-catalyst; ammonium-perchlorate(AP); thermal decomposition; transition-metal borides; nano-silicon dioxide

引言

目前关于过渡金属、非晶合金及其他混合物作为高氯酸铵(AP)基固体推进剂的燃速调节剂的研究很多, 其中非晶态物质的催化活性较好^[1-12]。采用化学还原法制备的超细非晶态合金虽表现出良好的催化性能, 可有效提高催化活性和选择性, 但其热稳定性很差, 催化剂的成本高且与产物分离困难, 工业化应用难度很大^[13-14]。化学还原浸渍法制备的负载型非晶态合金催化剂的热稳定性好, 可有效防止催化剂有效成分的烧结, 并在催化过程中保持其非晶态合金的性质, 由于活性组分均匀分散在

载体中, 还原不仅能将活性组分在催化剂内均匀固定, 而且保证了催化剂的活性。

本研究采用化学还原法制备纳米 NiB/SiO_2 、 CoB/SiO_2 、 MoB/SiO_2 催化剂, 并通过热重-差热分析研究了 NiB/SiO_2 、 CoB/SiO_2 、 MoB/SiO_2 对 AP 热分解的催化作用。

1 实验

1.1 材料及仪器

KBH_4 、 $\text{CoCl}_2 \cdot 6\text{H}_2\text{O}$ 、 $\text{NiSO}_4 \cdot 6\text{H}_2\text{O}$ 和 $(\text{NH}_4)_6\text{Mo}_7\text{O}_{24} \cdot 4\text{H}_2\text{O}$, 为化学纯试剂。

D/MAX-2400 型 X-ray 衍射(XRD)仪, Cu-K α

收稿日期:2012-11-14; 修回日期:2012-12-27

作者简介:李茸(1977—),女,博士,讲师,研究方向:纳米材料在军事化学与烟火技术中的应用。

辐射, 工作电压 50 kV, 工作电流 150 mA, 波长 $\lambda = 1.5406\text{\AA}$, 扫描速度 $3^\circ/\text{min}$, 扫描范围 $20^\circ \sim 80^\circ$; JEM-5600LV 型扫描电镜(SEM); JEM-2000EM 型高分辨率透射电镜(HR-TEM); STA 449C 型差扫描量热(DSC)仪, N_2 气氛, N_2 流速 20 mL/min, 加热速率 $20^\circ\text{C}/\text{min}$; TGA/SDTA851E/LF/1600 型热重-差热分析仪(TG-DTA), N_2 气氛, N_2 流速 50 mL/min, 加热速率 $10^\circ\text{C}/\text{min}$ 。

1.2 催化剂的制备

以纳米 SiO_2 为载体(粒子大小为 $30\sim60\text{nm}$), 采用滴加化学还原法制备 MoB/SiO_2 、 CoB/SiO_2 及 NiB/SiO_2 系列催化剂。

称取一定量的 SiO_2 加入到装有体积浓度为 0.1mol/L $\text{CoCl}_2 \cdot 6\text{H}_2\text{O}$ 溶液的三口烧瓶中, 室温下将 SiO_2 载体在溶液中浸渍 24 h(Co 与载体质量比为 1 : 3)。将烧瓶置于冰水浴中, 采用间歇式强烈机械搅拌(搅拌 1 min 间歇 5 min, 搅拌速率 $500\text{r}/\text{min}$), 以 $5\text{mL}/\text{min}$ 的速率将一定体积含 BH_4^- 溶液滴加到烧瓶中(Co_2^+ 与 BH_4^- 离子的总摩尔比约为 1 : 2)。搅拌均匀后静置至无气泡放出, 形成黑色乳液。高速离心分离乳液, 将所得沉淀用蒸馏水洗涤至 pH 值为 7, 再用无水乙醇反复洗涤, 所得湿粉体经低温(40°C , $6\sim8\text{h}$)真空干燥, 得 CoB/SiO_2 催化剂。

参考 CoB/SiO_2 的制备工艺, 制备 NiB/SiO_2 和 MoB/SiO_2 催化剂(金属 Ni 和 Mo 与 SiO_2 载体质量比为 1 : 3)。

1.3 催化活性测试

将所制备的催化剂(0.02g)与粒径为 16\mu m 的 AP(0.98g)以质量比 1 : 49 在玛瑙研钵中混合, 并加入 1mL 无水乙醇研磨 1 min。混合物在 70°C 真空干燥 1 h, 测试混合物的热分解温度和失重率。

2 结果与讨论

2.1 催化剂的物相

图 1 是 MoB/SiO_2 、 CoB/SiO_2 和 NiB/SiO_2 催化剂的 XRD 谱图。由图 1 可看出, 载体 SiO_2 仅在 2θ 为 20° 处有一个宽的弥散峰, 说明是无定型的 SiO_2 。 MoB/SiO_2 、 CoB/SiO_2 和 NiB/SiO_2 分别在 2θ 为 28° 和 57.8° 、 2θ 为 45° 以及 2θ 为 $44.76^\circ\sim47.57^\circ$ 出现宽化的馒头状弥散峰, 说明 SiO_2 表面已负载上 MoB、CoB 及 NiB 粒子。 MoB/SiO_2 、 CoB/SiO_2 和 NiB/SiO_2 催化剂的 XRD 图谱上不存在尖锐的衍射峰, 出现的是比较宽化的弥散峰, 说明载体 SiO_2 表面负载的 MoB、CoB 及 NiB 粒子的分散性较好; MoB/SiO_2 、 CoB/SiO_2 和 NiB/SiO_2 催化剂的 XRD 衍射峰的强度都比较小, 说明制备的催化剂颗粒尺度很小, 尤其是 CoB/SiO_2 。

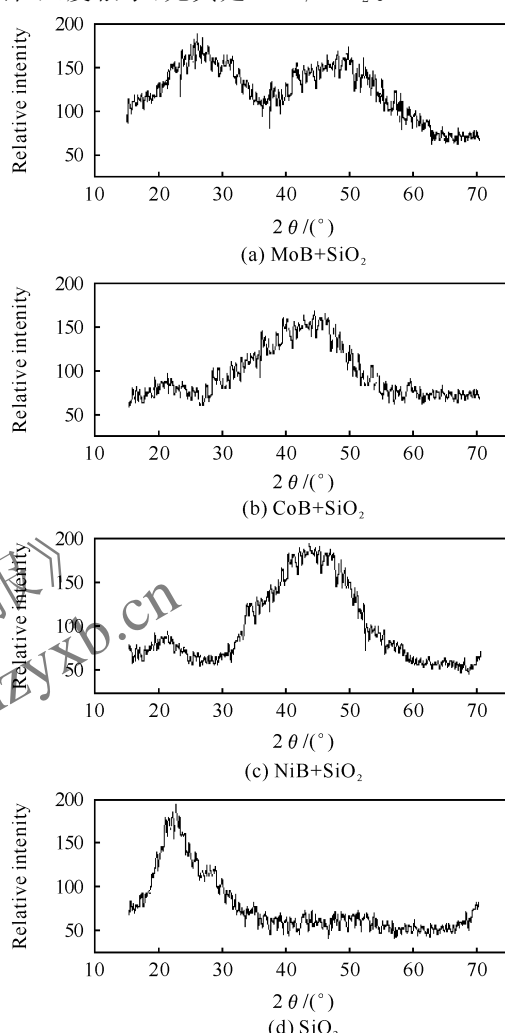


图 1 SiO_2 、 MoB/SiO_2 、 CoB/SiO_2

和 NiB/SiO_2 的 XRD 谱图

Fig. 1 XRD patterns of SiO_2 、 MoB/SiO_2 、 CoB/SiO_2 and NiB/SiO_2 powders

2.2 催化剂的结构和形貌

图 2 是纯纳米 SiO_2 载体及 MoB/SiO_2 、 CoB/SiO_2 和 NiB/SiO_2 催化剂的 SEM 照片。由图 2 可以看出, 纯纳米 SiO_2 载体呈现明显团聚状态, 原因是使用的纳米 SiO_2 ($20\sim60\text{nm}$)本身容易团聚, 因此, 制备的 MoB/SiO_2 、 CoB/SiO_2 和 NiB/SiO_2 催化剂也表现出类似团聚现象的絮状准颗粒结构。相对纯纳米 SiO_2 、 MoB/SiO_2 、 CoB/SiO_2 和 NiB/SiO_2 催化剂团聚体比较暗淡, 凹凸不平的立体形态更加突出, 说明在 SiO_2 载体表面分别有 MoB、CoB 和 NiB 合金的沉积。

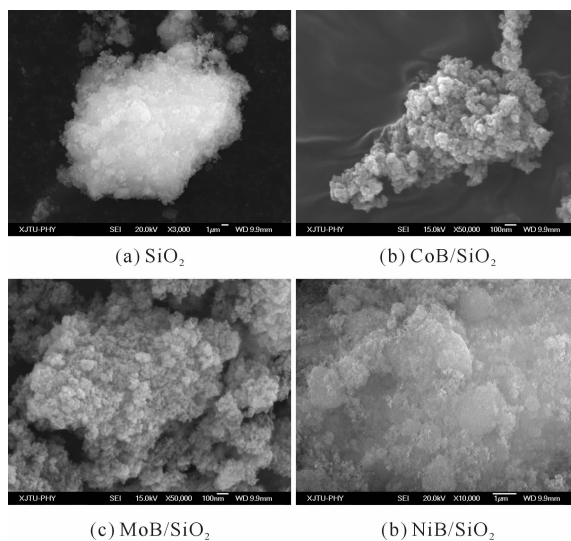


图 2 SiO_2 、 MoB/SiO_2 、 CoB/SiO_2 和
 NiB/SiO_2 催化剂的 SEM 照片

Fig. 2 SEM images of SiO_2 、 MoB/SiO_2 、 CoB/SiO_2
and NiB/SiO_2 catalyst

2.3 催化剂的活性

对纯 AP 及 AP 与 SiO_2 、 MoB/SiO_2 、 CoB/SiO_2 和 NiB/SiO_2 催化剂的混合样进行热重-差热分析, 结果见图 3 和表 1。

由图 3 可知, 纯 AP 在 250℃ 存在一个吸热峰, 对应由斜方晶型向立方晶型转变的固-固相转变过程, 在 311.80℃ 和 450.14℃ 存在的两个放热峰分别对应低温分解和高温分解两个放热阶段。这两个分解放热阶段与 TG 曲线上的两段失重过程相对应, 339.58℃ 左右低温分解过程结束, 整体分解反应至 468.41℃ 完全结束。

由图 3(a) 可看出, 加入 SiO_2 、 MoB/SiO_2 、 NiB/SiO_2 和 CoB/SiO_2 催化剂后, AP 的 DTA 曲线的吸

热峰温 (T_o) 均在 250℃ 附近对应纯 AP 吸热峰, 说明 SiO_2 、 MoB/SiO_2 、 NiB/SiO_2 和 CoB/SiO_2 催化剂没有改变 AP 晶相转变峰的位置。TG-DTA 曲线说明 SiO_2 、 MoB/SiO_2 、 NiB/SiO_2 和 CoB/SiO_2 催化剂均促进了 AP 的热分解, 表现为 DTA 曲线上 AP 的高温分解峰温 (T_p) 大幅度下降, 高温与低温热分解峰之间的温度区间变窄, TG 曲线整体分解反应的终止温度 (T_t) 提前。特别是加入 CoB/SiO_2 催化剂后, AP 的高温分解峰大幅度提前, 并使之与低温分解峰叠加, 只表现一个低温热分解阶段, TG 曲线上无拖尾峰。

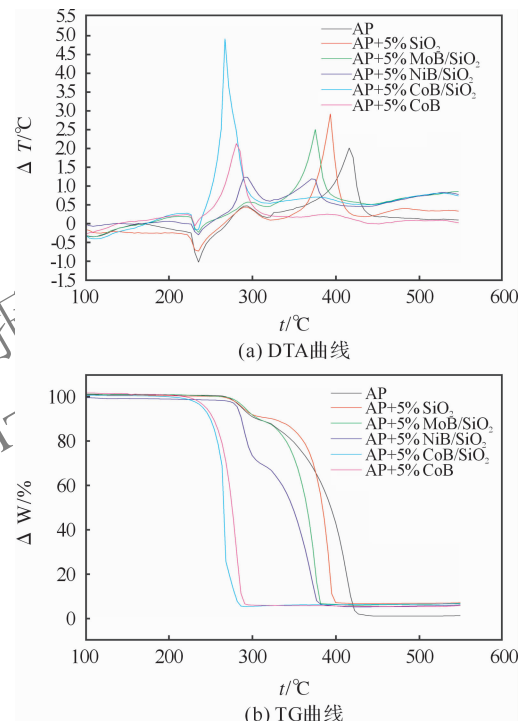


图 3 不同样品的 TG-DTA 曲线

Fig. 3 TG-DTA curves of different samples

表 1 不同样品的 TG-DTA 数据
Table 1 TG-DTA data of different samples

样品	$T_o/^\circ\text{C}$	$T_{e,o}/^\circ\text{C}$	$T_{p1}/^\circ\text{C}$	$T_{t1}/^\circ\text{C}$	$T_{p2}/^\circ\text{C}$	$T_{t2}/^\circ\text{C}$
AP	250.00	270.60	311.80	339.58	450.14	468.41
AP + 5% SiO_2	248.17	279.50	310.50	328.67	423.77	429.70
AP + 5% CoB	245.21	250.00	300.17	310.00		
AP + 5% CoB/ SiO_2	246.80	250.00	283.97	305.41		
AP + 5% MoB/ SiO_2	249.08	290.00	317.73	330.50	404.07	411.09
AP + 5% NiB/ SiO_2	246.80	278.00	311.80	329.58	402.56	417.61

注: T_o 为 AP 相转变温度; T_e 为热分解起始温度; T_{p1} 为低温热分解峰温度; T_{t1} 为低温热分解终止温度; T_{p2} 为高温热分解峰温度; T_{t2} 为高温热分解终止温度。

AP 低温分解反应阶段, 只有 NiB/SiO_2 和 CoB/SiO_2 催化剂表现出明显的活性, CoB/SiO_2 催化活性大于 NiB/SiO_2 ; 在 AP 高温分解反应阶段活

性大小为: $\text{CoB}/\text{SiO}_2 > \text{NiB}/\text{SiO}_2 > \text{MoB}/\text{SiO}_2 > \text{SiO}_2$ 。因此, CoB/SiO_2 催化剂对 AP 的热分解反应表现出了非常明显的活性。

加入 CoB 和 CoB/SiO₂ 均可使 DTA 曲线上 AP 的高温分解峰提前与低温分解峰叠加, 并使整个热分解过程在低温阶段加速完成, 对应的 TG 曲线上无拖尾峰。但加入 CoB 使纯 AP 的低温和高温 T_p 分别提前了 11.63 和 150 ℃。加入 CoB/SiO₂, 使纯 AP 的低温和高温 T_p 分别提前了 27.83 和 166.2 ℃。CoB 和 CoB/SiO₂ 分别将 AP 分解结束的 T_t 提前 158.41 和 163 ℃。表明 CoB 对 AP 热分解尤其是高温热分解阶段表现出显著催化作用, 载体纳米 SiO₂ 对 CoB 催化活性有促进作用。

以上实验结果说明, MoB/SiO₂、CoB/SiO₂、NiB/SiO₂ 催化剂对 AP 分解的催化活性是 MoB、CoB、NiB 催化剂与 SiO₂ 载体的协同效应。而这种协同的催化效果与 MoB、CoB、NiB 本身的催化活性、负载量及其在 SiO₂ 载体上分散的均匀性有直接的关系。

对 CoB/SiO₂ 催化剂而言, CoB 本身对 AP 分解的催化活性表现出主导作用; 同时 SiO₂ 载体辅助的促进作用也得以明显的体现。SiO₂ 载体对 CoB/SiO₂ 催化剂的促进作用应当源于 CoB 在 SiO₂ 载体上较好的分散性, 这一点从图 4 可以说明。由图 4 可以看出, CoB 在 SiO₂ 载体上分散性较好。CoB/SiO₂ 催化 AP 热分解的活性较 CoB 催化剂本身更为突出, 因此, CoB/SiO₂ 作为固体推进剂燃速催化剂有应用前景。

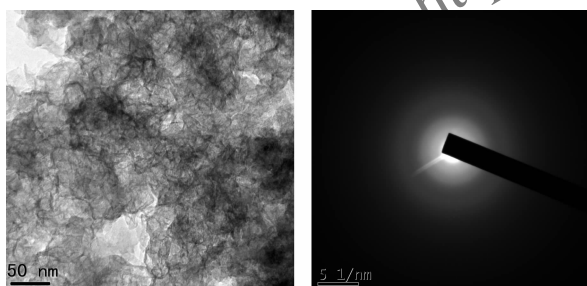


图 4 CoB/SiO₂ 的 TEM 照片

Fig. 4 TEM images of CoB/SiO₂

2.4 催化剂的热稳定性

图 5 是 CoB 和 CoB/SiO₂ 催化剂的 DSC 曲线。CoB 和 CoB/SiO₂ 的 DSC 曲线都有一个吸热峰和多个放热峰。两个 DSC 曲线在 101.2 ℃附近出现的吸热峰对应于吸附水的脱附。继续升温, CoB 的 DSC 基线向放热方向漂移, 表明 CoB 合金微粒的结构在逐渐变化。在 268.7 ℃和 346.2 ℃出现的弱放热峰归于 CoB 非晶态合金从无序堆积向有序堆积的转变过程, 也意味着非晶态合金开始发生晶化^[15]。在 474.2 ℃出现的强放热峰以及在 529.1 ℃和 687.4 ℃出现的较强放热峰归因于 CoB 非晶态合

金的多步晶化过程。

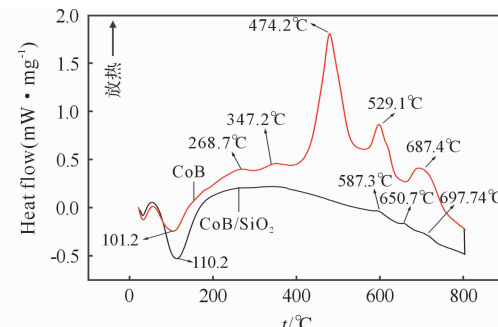


图 5 CoB 和 CoB/SiO₂ 的 DSC 曲线

Fig. 5 DSC curves for CoB and CoB/SiO₂

CoB/SiO₂ 的 DSC 曲线在 500℃之前都处于一个连续、平稳但较弱的放热过程, 归因于微粒结构从无序到有序的逐渐转变过程。虽然 500~800℃ DSC 曲线漂移至吸热过程, 但在 587.3℃、650.7℃ 和 697.7℃ 出现了放热峰, 这三个峰归因于 CoB 非晶态合金的晶化。导致 CoB/SiO₂ 的 DSC 曲线向吸热方向大幅漂移的原因可能是 CoB 分散在 SiO₂ 载体中抑制了 CoB 粒子的晶化引起的。比较 CoB/SiO₂ 和 CoB 的热稳定性发现, 前者在 500℃之前基本是热稳定的, 而后者在 268.7℃已经开始缓慢晶化; 进行多步晶化时, 前者的晶化温度比后者分别推迟了 113.1、121.6 和 10.3℃左右。结果表明, 纳米 SiO₂ 载体的引入延缓了热处理过程中 CoB 非晶态合金的彻底晶化, 提高了 CoB 的热稳定性。

在非晶态合金晶化过程中非晶态颗粒的团聚是晶化的前提^[16]。因此, 纳米 SiO₂ 载体能够提高 CoB 催化剂的热稳定性主要原因是 CoB 合金在比表面积很大的纳米 SiO₂ 载体上得到了较好的分散。载体与非晶态合金之间存在的物理作用(如空间结构束缚或静电作用)或化学作用(如化学键)使得非晶态合金纳米颗粒之间不易互相团聚, 从而抑制了合金组分晶粒的析出, 提高了 CoB 非晶态合金的晶化温度。CoB/SiO₂ 粉体较好的热稳定性更有利于其在 AP 的催化热分解反应中发挥催化作用。

3 结 论

(1)采用化学还原法制备出纳米级 NiB/SiO₂、CoB/SiO₂、MoB/SiO₂ 催化剂。CoB 硼化物在 SiO₂ 载体表面的分散性较好, SiO₂ 改善了 CoB 催化剂的分散性。

(2)负载硼化物催化剂对 AP 分解的催化活性是硼化物与 SiO₂ 载体协同效应, 活性顺序为: CoB/SiO₂ > NiB/SiO₂ > MoB/SiO₂。CoB/SiO₂ 催化剂

在 CoB 催化剂活性基础上将 AP 整体反应放热峰温提前 17℃左右。SiO₂ 载体将 CoB 晶型转化推迟了 110℃左右,大大提高了 CoB 催化剂的热稳定性。

参考文献:

- [1] Liu H B, Jiao Q Z, Zhao Y. Mixed oxides derived from Cu-Co layered double hydroxide nanorods: Preparation, characterization and their catalytic activities [J]. *J Alloys Compd*, 2010, 496:317-323.
- [2] Li H X, Li H, Zhang J. Ultrasound-assisted preparation of a highly active and selective Co-B amorphous alloy catalyst in uniform spherical nanoparticles [J]. *J Catal*, 2007, 246:301-307.
- [3] Ping C, Li F S, Jian Z. Preparation of Cu/CNT composite particles and catalytic performance on thermal decomposition of ammonium perchlorate [J]. *Propellants, Explos., Pyrotech* 2006, 31:452-455.
- [4] Yu Z X, Chen L F, Lu L D. DSC/TG-MS study on in situ catalytic thermal decomposition of ammonium perchlorate over CoC₂O₄ [J]. *Chinese Journal of Catalysis*, 2009, 30:19-23.
- [5] Xu H, Wang X B, Zhang L Z. Selective preparation of nanorods and micro-octahedrons of Fe₂O₃ and their catalytic performances for thermal decomposition of ammonium perchlorate [J]. *Powder Technol*, 2008, 185:176-80.
- [6] Duan H Z, Lin X Y, Liu G Q. Synthesis of Ni nanoparticles and their catalytic effect on the decomposition of ammonium perchlorate [J]. *Journal of Materials Processing Technology*, 2008, 208:494-498.
- [7] Duan H Z, Lin X Y, Liu G Q. Synthesis of Co nanoparticles and their catalytic effect on the decomposition of ammonium perchlorate [J]. *Chinese Journal of Chemical Engineering*, 2008, 16(2):325-328.
- [8] Liu H B, Jiao Q Z, Zhao Y. Cu/Fe hydrotalcite derived mixed oxides as new catalyst for thermal decomposition of ammonium perchlorate [J]. *Mater Lett*, 2010, 04:61.
- [9] Chen L J, Li L Q, Li G S. Synthesis of CuO nanorods and their catalytic activity in the thermal decomposition of ammonium perchlorate [J]. *Journal of Alloys and Comp*, 2008, 464:532-536.
- [10] Duan G R, Yang X J, Chen J. The catalytic effect of nanosized MgO on the decomposition of ammonium perchlorate [J]. *Powder Technol*, 2007, 172:27-29.
- [11] Li R, Liu X X, Wang X J. Synthesis of Ni , Ni-P and Ni-B nanoparticles and their catalytic effect on the decomposition of ammonium perchlorate [J]. *Journal of Solid Rocket Technology*, 2008, 6:295-298.
- [12] Singh Kapoor I P, Srivastava P, Singh G. Nanocrystalline transition metal oxides as catalysts in the thermal decomposition of ammonium perchlorate [J]. *Propellants, Explosives, Pyrotechnics*, 2009, 34 (4): 351-356.
- [13] 李茸,刘祥萱,王煊军,等. 纳米金属催化剂的制备及其后处理[J]. 新技术新工艺,2007,237:86-89。
LI Rong, LIU Xiang-xuan, WANG Xuan-jun, et al
The treatment technology and synthesis of nickel nanoparticles catalyster [J]. New Technology and New Process, 2007,237:6-89.
- [14] 李茸,刘祥萱,王煊军,等. 玻璃基体化学镀镍-磷工艺研究[J]. 电镀与涂饰,2005,24 (01):27-29。
LI Rong, LIU Xiang-xuan, WANG Xuan-jun, et al
Electroless Ni-P plating on glass substrates[J]. electroplating and finishing, 2005,24 (01):27-29.
- [15] 闫世润,乔明华,范康年. 非晶态合金催化剂的研究进展[J]. 石油化工,2007,36(3):213-221。
YAN Shi-run, QIAO Ming-hua, FAN Kang-nian.
progress in research of amorphous alloy catalyst[J]. Petrochemical Technology, 2007,36(3):213-221.
- [16] 左满宏,王志,刘恩利. 非晶态合金催化剂的表征与应用[J]. 广州化工,2007,35(1):5-9。
ZUO Man-hong, WANG Zhi, LIU En-li. Characterization and application of amorphous alloy catalysts [J]. Guangzhou Chemical Industry,2007,35(1):5-9.